

# 卷曲链霉菌噬菌体的研究

崔汉钧 张仪常 魏芸斋

林端方 莫卫平 窦永泽

(中国科学院成都生物研究所, 成都)

从安阳第一制药厂卷曲霉素生产的异常发酵液中分离到一株噬菌体, 定名为  $\phi$ SC。呈现头部和尾部结构, 经 SDS-聚丙烯酰胺凝胶电泳, 分离得 15 条蛋白质亚基谱带, 含双链脱氧核糖核酸。其 DNA 分子量为  $10.89 \times 10^6$  道尔顿, 宿主范围很窄, 热失活温度为 70°C, 在 pH5—9 稳定。

关键词 卷曲霉素; 噬菌体  $\phi$ SC

卷曲霉素系我国河南省安阳市第一制药厂生产, 1982 年下半年, 生产连续不正常, 被迫停产, 经鉴定, 证实为噬菌体污染所致。卷曲链霉菌噬菌体, 在国内属首次发现, 国外也未见有报道。我们通过电镜和其它生化分析, 对其形态大小、理化特性进行了研究, 选育出产量较高的抗噬菌体菌株, 并已用于生产。此外, 对该噬菌体的蛋白和核酸也进行了初步研究。

## 材料与方法

### (一) 指示菌

卷曲链霉菌 (*Streptomyces capreolus*) 系由河南省安阳市第一制药厂提供。

### (二) 噬菌体

从河南省安阳市第一制药厂卷曲霉素生产的异常发酵液中分离获得。

### (三) 培养基和稀释液

1. 斜面培养基: 高氏一号琼脂培养基。

2. 平板培养基 (%): 可溶性淀粉 1, 酵母粉 0.3, 葡萄糖 0.5, 蛋白胨 1, NaCl 0.2, NaNO<sub>3</sub> 0.2, CaCO<sub>3</sub> 0.2, pH7.2。下层加琼脂 2, 上层除加琼脂 0.6—0.7 外, 另加 CaCl<sub>2</sub> 0.15。

3. 二级菌种培养基: 同平板培养基, 不加琼脂。

4. 发酵培养基 (%): 可溶性淀粉 3.5, 蛋白

胨 3, 葡萄糖 1.5, MgSO<sub>4</sub> · 7H<sub>2</sub>O 0.3, KH<sub>2</sub>PO<sub>4</sub> 0.01, CaCO<sub>3</sub> 0.4, pH7.2。

5. 噬菌体稀释和保存液 (g/L): MgSO<sub>4</sub> · 7H<sub>2</sub>O 4.9, Tris 1.2, NaCl 0.29, pH8.0。

### (四) 噬菌体平板计数

按 Adams<sup>[1]</sup> 双层法进行, 28—30°C 培养 48 小时左右检查结果。

### (五) 电镜观察

按常规方法制片, 2%、pH 7.0 的磷钨酸负染, 在 JEM-100X 型电镜下观察, 电镜照片通过幻灯投影测量噬菌体颗粒大小。

### (六) 有机溶剂的影响

用浓度为 10% 氯仿、75% 乙醇、10% 丙酮分别在密闭试管内室温下处理噬菌体 30 分钟, 测定噬菌斑数目。

### (七) pH 稳定性测定

基本按余茂效等<sup>[2]</sup>方法进行。pH3—11 用酸度计测定, pH12、13 用精密试纸测定, 噬菌体起始效价  $10^6$ pfu/ml, 25°C 水浴 1 小时, 适当稀释后测定噬菌斑数目。

### (八) 热失活测定

取  $10^7$ — $10^8$  pfu/ml 噬菌体液分装大小厚薄一致的试管, 每管 2ml, 在不同温度水浴中保持 30 分钟, 冷却后测定噬菌斑数目。

### (九) 对紫外线敏感性的测定

本文于 1985 年 3 月 18 日收到。

取 $10^4\text{pfu/ml}$  噬菌体液 $0.2\text{ml}$ 于直径 $2.5\text{cm}$ 的平底玻皿中，在紫外灯下（ $20\text{W}$ ，距离 $45\text{cm}$ ）照射后继续保持黑暗 $30$ 分钟，测定噬菌斑数目。

#### （十）宿主范围测定

用链霉菌 $14$ 个类群的代表菌株孢子悬液与 $10^4$ 和 $10^8\text{pfu/ml}$ 两种浓度的噬菌体液，按双层法测平板噬菌斑形成单位。

#### （十一）噬菌体悬液的制备和提纯

用固体平板法<sup>[3]</sup>繁殖噬菌体，收集平板上层琼脂，离心，取上清液经 $0.3\mu\text{m}$ 微孔滤膜过滤后，再以 $45,000\text{rpm}$ 超速离心 $2.5$ 小时，噬菌体沉降物悬于稀释液（约浓缩 $20$ 倍）中，为噬菌体粗提液。

上述粗提液加氯化铯（终浓度 $0.85\text{g/ml}$ ）进行密度梯度离心， $20^\circ\text{C}$ ， $40,000\text{rpm}$ ， $18$ 小时，用注射器收集梯度中青蓝色噬菌体带于透析袋中，对噬菌体稀释液透析 $6$ — $8$ 小时。

#### （十二）噬菌体蛋白 SDS-聚丙烯酰胺凝胶电泳

按 Laemmli<sup>[4]</sup>不连续系统电泳法进行，用 $82 \times 82 \times 2.7\text{mm}$ 平板凝胶， $70\text{V}$ ， $90$ — $70\text{mA}$ ，室温下电泳 $4$ 小时。蛋白质固定、染色及退色均按 Porro 等<sup>[5]</sup>的方法。

#### （十三）噬菌体蛋白亚基分子量的测定

按 Pharmacia 公司说明书<sup>[6]</sup>介绍的方法进行。以该公司生产的低分子量和高分子量标准蛋白质（均用亚基）作对照。低分子量标准蛋白含磷酸化酶 b（ $94,000\text{dal}$ ），牛血清白蛋白（ $67,000\text{dal}$ ），卵清白蛋白（ $43,000\text{dal}$ ），碳酸酐酶（ $30,000\text{dal}$ ），大豆胰蛋白酶抑制剂（ $20,100\text{dal}$ ）和 $\alpha$ -牛乳清蛋白（ $14,400\text{dal}$ ）；高分子量标准蛋白含甲状腺球蛋白（ $330,000\text{dal}$ ），铁蛋白（半亚基 $220,000$ 和亚基 $18,500\text{dal}$ ），过氧化氢酶（ $60,000\text{dal}$ ）和乳酸脱氢酶（ $36,000\text{dal}$ ）。

#### （十四）核酸的分离、定性及分子量测定

1. 定性：噬菌体悬液经 $2\%$ SDS 裂解后用二苯胺法检测。

2. 分离：参照崔道珊等<sup>[7]</sup>、叶盛玉等<sup>[8]</sup>的方法，取 $0.1$ — $0.3\text{ml}$ 纯化的噬菌体液于 Eppendorf 管中， $50$ — $60^\circ\text{C}$  加热 $10$ 分钟，冷至室温，加 $2\%$ SDS 至终浓度为 $1\%$ ， $37^\circ\text{C}$  保温 $1$ 小时，加等体积 TE 缓冲液（TE： $0.25\text{M NaCl}$ ， $10\text{mM Tris}$ ， $1\text{mM}$

EDTA，pH8.0）饱和的苯酚，混匀，于 TGL-16 台式离心机离心 $1$ — $2$ 分钟，取水相，重复一次，再用上述饱和苯酚与氯仿（V/V $1:1$ ）对水相抽提一次，所得水层用乙醚抽提除酚后，加冷乙醇置冰箱过夜，离心收集 DNA 沉降物，溶于适量 $1 \times \text{SSC}$ 缓冲液（SSC： $0.15\text{M NaCl}$ ， $0.015\text{M}$  柠檬酸钠）中。

3. 分子量测定：参照陈关君等<sup>[9]</sup>方法，用 $0.7\%$ 琼脂糖平板凝胶电泳，以大肠杆菌噬菌体 $\lambda$ DNA HindIII 酶切样品为对照，根据已知 $\lambda$ DNA 酶切片段的分子量和泳动距离绘制标准曲线，测出噬菌体 $\phi$ SC 的分子量。

#### （十五）限制内切酶切割 $\phi$ SC 的 DNA

全部酶反应均按劳为德等<sup>[10]</sup>的条件进行。

## 结 果

#### （一）噬菌体的分离和纯化

安阳市第一制药厂卷曲霉素生产的异常发酵液经稀释，用双层法<sup>[1]</sup>进行连续单斑分离，获得两株噬菌体，通过电镜观察和测量，确认为同一种噬菌体，定名为 $\phi$ SC。

#### （二） $\phi$ SC 的颗粒及噬菌斑的形态与大小

$\phi$ SC 的噬菌斑圆形，边缘整齐，大而清晰，直径 $3$ — $7\text{mm}$ ，平均 $4.8\text{mm}$ （图 1）。噬

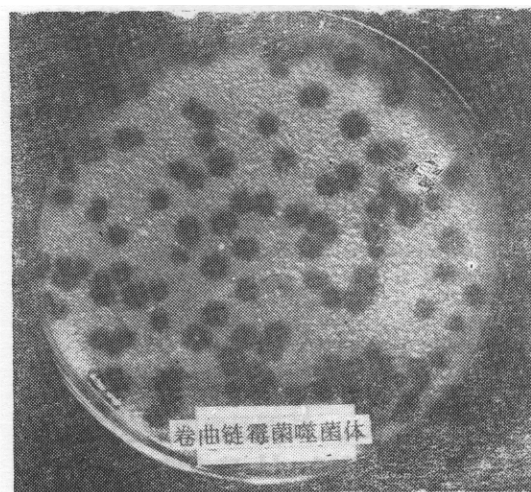


图 1  $\phi$ SC 噬菌斑

Fig. 1 Morphology of  $\phi$ SC

菌体颗粒的头部长宽相当，尾部细长，按 Ackermann<sup>[1]</sup> 分类标准属 B<sub>1</sub> 型(图 2)，其大小见表 1。

表 1 φSC 颗粒的大小 (nm)

Table 1 The size of φSC particle

头部 Head		尾部 Tail	
长度 Length	宽度 Width	长度 Length	宽度 Width
35.4	34.7	73.2	4.7



图 2 φSC 颗粒的形态 (288,000×)

Fig. 2 Plaques of φSC

### (三) 有机溶剂对 φSC 存活力的影响

表 2 表明, 该噬菌体对氯仿、乙醇均敏感, 而对丙酮不敏感。

表 2 有机溶剂对 φSC 存活力的影响

Table 2 Influence of organic solvents on the survival rate of φSC

溶剂 Solvent	处理终浓度(%) Final concentration of treatment	存活率(%) Survival rate
氯仿 Chloroform	10	0
乙醇 Ethanol	75	3.2
丙酮 Acetone	10	97.7

### (四) 热失活和 pH 稳定性

φSC 不耐热, 70℃ 30 分钟几乎全部失活(图 3); pH 适应范围在 pH5—9 之间,

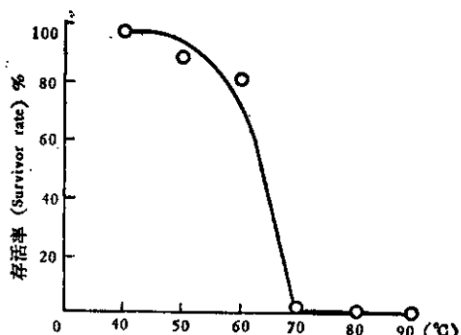


图 3 温度对噬菌体存活的影响

Fig. 3 The effect of temperature on the survival rate of φSC

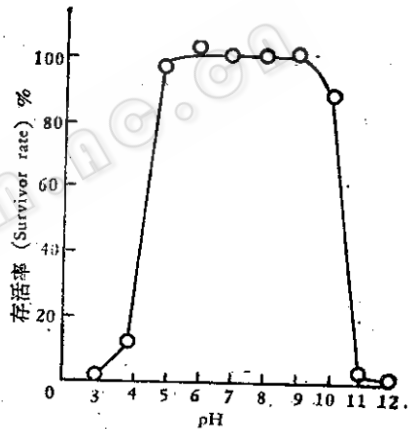


图 4 pH 对噬菌体存活率的关系

Fig. 4 The relationship between pH and the survival rate of φSC

低于 pH3、高于 pH11 则基本失活(图 4)。

### (五) φSC 对紫外线照射的敏感性

随着紫外线强度的增加, φSC 噬菌体的存活率降低, 在试验条件下, 照射时间超过 24 分钟则完全失活(图 5)。

### (六) 宿主范围的测定

卷曲链霉菌噬菌体 φSC 对链霉菌 14 个类群的代表菌株和卡那霉素链霉菌进行侵染试验, 经多次检测结果表明, 该噬菌体宿主范围很窄, 在试验条件下均不出现噬菌斑。

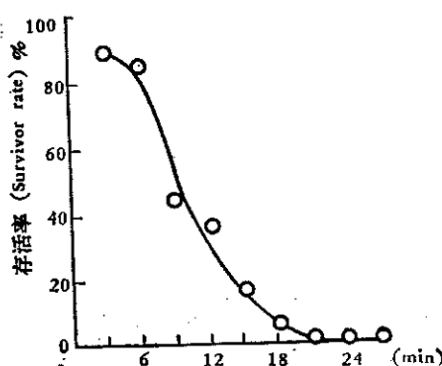


图 5 紫外线照射对噬菌体存活率的影响

Fig. 5 The influence of UV radiation on the survival rate of  $\phi$ SC

### (七) 噬菌体蛋白 SDS 聚丙烯酰胺凝胶电泳及蛋白亚基分子量的测定

纯化的噬菌体悬液用等量含 SDS 样品的缓冲液(含 10mM Tris-Cl pH 8.0, 1mM EDTA, 2.5% SDS, 5%  $\beta$ -巯基乙醇)处理后,通过 0.1% SDS 的聚丙烯酰胺凝胶电泳,出现 15 条蛋白亚基谱带,其中 5 条较弱(图 6)。

用 Pharmacia 公司的 11 种标准蛋白

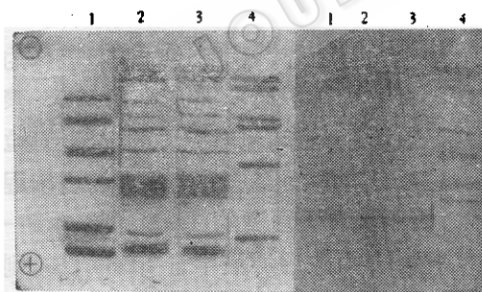


图 6 噬菌体蛋白的 SDS-聚丙烯酰胺凝胶电泳图(右)及其模拟图(左)

Fig. 6 The pattern of phage proteins on SDS-polyacrylamide gel (right) and an imitative profile (left)

- 1. 低分子标准蛋白；
- 2,3. 噬菌体蛋白；
- 4. 高分子标准蛋白。
- 1. Low MW standards;
- 2,3. Phage proteins;
- 4. High MW standard.

一起电泳,求出各标准蛋白分子量( $M$ )的对数与电泳迁移率(以  $Rf$  值计)之间的回归方程为:

$$\hat{Y} = a + bx = 5.2102 - 1.3700x$$

以  $\log M$  为  $Y$ ,  $Rf$  为  $x$  作回归直线,并以此为标准曲线,求出相应蛋白亚基的分子量(表 3)。

### (八) 核酸定性和分子量的测定

用二苯胺法检测证实,  $\phi$ SC 含脱氧核糖核酸, 琼脂糖凝胶电泳上出现一条谱带(见图 7),以  $\lambda$ DNA 经  $Hind$  III 酶切谱带为对照,计算其分子量为  $10.89 \times 10^6$  道尔顿。

图 7  $\phi$ SC DNA 的电泳图

Fig. 7 Phage DNA pattern on agarose gel

- 1.  $\phi$ SC DNA
- 2.  $\lambda$ DNA 经  $Hind$  III 酶切的谱带
- 1.  $\phi$ SC DNA
- 2. DNA digested with  $Hind$  III (control)

### (九) 限制内切酶谱

$\phi$ SC DNA 在同一试验条件下,可被多种限制内切酶切割。图 8 指出,  $\phi$ SC 经  $Eco$  RI、 $Hind$  III 切割后电泳,分别出现 17

表 3 噬菌体蛋白亚基电泳相对迁移率和分子量

Table 3 Relative electrophoresis mobilities ( $R_f$ ) and molecular weights of the phage protein subunits

编 号 No.	3	4	5	6	7	8	9	10	11	12	13	14	15
Rf 值 Rf values	0.16	0.17	0.25	0.29	0.34	0.43	0.52	0.53	0.55	0.57	0.58	0.69	0.75
分子量 MW	330,000	300,000	73,790	65,310	55,590	41,690	31,620	30,550	28,510	26,610	26,000	18,410	15,310

注: 1、2 蛋白亚基分子量大于 330,000, 3、4 亚基分子量不在标准曲线范围内, 是标准蛋白 Thy 和 Fer-1 的相应估计值。

MW of no. 1 and 2 are higher than  $33 \times 10^4$  dal. MW of no. 3 and 4 are not on the curve. Their values were estimated according to the molecular weights of thyroglobulin and ferritin.

1 2 3 4 5. 6 7



图 8  $\phi$ SC DNA 的限制酶切图谱

Fig. 8 The fragment patterns of  $\phi$ SC DNA digested with restriction endonucleases

切割用酶 digested with:

- 1. Bsp 211 2. Bgl I 3. Xho I
- 4. Bgl II 5. Hind III 6. EcoRI
- 7.  $\phi$ SC DNA (control)

和 19 条谱带, 用 Bgl I 和 Bsp 211 切割, 分别产生 22—24 和 10 条谱带, 用 Bgl II 和 Xho I 切割, 出现谱带也都在 10 条以

上, 但不够清晰。

## 讨 论

$\phi$ SC 为卷曲链霉菌的噬菌体, 头为长宽相当的多角形, 尾部细长, 与链霉菌中出现的大多数噬菌体形态相似, 按 Ackermann<sup>[11]</sup>分类标准属 B<sub>1</sub>型。 $\phi$ SC 对温度和酸、碱的耐受性不强, 对氯仿、乙醇敏感, 对丙酮不敏感, 对紫外线照射的耐受力较强。

$\phi$ SC 噬菌体宿主范围很窄, 在试验条件下, 对所有测试菌株均不感染, 这一特点给选育抗噬菌体菌株提供了有利条件。

除上述特征外, 我们还对该噬菌体的蛋白和核酸进行了初步研究。用 SDS-聚丙烯酰胺凝胶电泳, 可对完整的  $\phi$ SC 颗粒蛋白进行分离, 无需加外壳蛋白的提取程序。用于解离蛋白质的 SDS 浓度为 1—2% (W/V), 电泳缓冲液中含 SDS 0.1%, 则可达到良好的分离效果<sup>[12—14]</sup>。

卷曲链霉菌噬菌体  $\phi$ SC 含 DNA, 琼脂糖凝胶电泳证明,  $\phi$ SC DNA 可被多种限制酶切割。用 Hind III 和 EcoRI 切割较用这两种酶切割大肠杆菌噬菌体  $\lambda$ DNA 产生的谱带多。 $\phi$ SC DNA 分子量比  $\lambda$ DNA 小, 因此抽提制备比较容易, 如能找到切口较少的适宜限制酶, 则有可能成为优良的参照物。

## 参考文献

- [1] Adams, M. H.: *Bacteriophages*, Interscience Pub. Inc., New York, pp. 450—451, 1959.
- [2] 余茂勋等: 微生物学报, 14(2): 216—223, 1974。
- [3] 中国科学院微生物研究所噬菌体组: «噬菌体及其防治», 科学出版社, 北京, 第35—36页, 1974。
- [4] Laemmli, U. K.: *J. Mol. Biol.*, 62: 465—473, 1971.
- [5] Porro, M. et al.: *Anal. Biochem.*, 127: 316—321, 1982.
- [6] Pharmacia Fine Chemicals, Calibration kits for molecular weight determination using electrophoresis, pp. 1—22, 1978.
- [7] 崔道珊等: 生物化学与生物物理进展, 2: 45—47, 1978。
- [8] 叶盛玉等: 生物化学与生物物理进展, 4, 61—62, 1980。
- [9] 陈关君等: 遗传学报, 11(2): 141—146, 1984。
- [10] 劳为德等: 生物化学与生物物理学报, 13(2): 175—181, 1981。
- [11] Ackermann, H. W.: CRC Handbook of Microbiol., 2nd ed., Vol. II, eds. A. I. Laskin and H. A. Lechevalier, pp. 639—642, 1978.
- [12] Lundrigan, M. D. et al.: *J. Virol.*, 45(2): 700—707, 1983.
- [13] Pepinsky, R. B. and Vogt, V. M.: *J. Virol.*, 45(2): 648—658, 1983.
- [14] 莽克强等: «聚丙烯酰胺凝胶电泳», 科学出版社, 北京, pp. 14—15, 1975。

## STUDIES ON A NEW PHAGE OF *STREPTOMYCES CAPREOLUS*

Cui Hanjun Zhang Yichang Wei Yunzai Lin Duanfang  
Mo Weiping Dou Yongze

*(Chengdu Institute of Biology, Academia Sinica, Chengdu)*

A new phage, designated as  $\phi$ SC, was isolated from an abnormal fermentation involved in the production of capreomycin in the First Pharmaceutical Factory of Anyang, Henan Province. Electron microscopic observation revealed that the phage has a shape of tadpole. Fifteen subunit bands from the protein moiety were separated by SDS-polyacrylamide

gel electrophoresis. The phage contained DNA having a molecular weight of  $10.89 \times 10^6$  daltons. The phage has a very narrow host range, remains stable at pH 5—9 and is inactivated at 70°C.

### Key words

Capreomycin; Phage  $\phi$ SC.